



## اندازه‌گیری چگالی الکترون در پلاسمای کلید تریگاترون

مجید آرام<sup>۱</sup>، نادر مرشدیان<sup>۲</sup>، سجاد اسدی<sup>۳</sup>، اسماعیل اسلامی<sup>۳</sup>، فریبا منصوری<sup>۱</sup>

۱. پژوهشکده‌ی لیزر و اپتیک، پژوهشگاه علوم و فنون هسته‌ای، سازمان انرژی اتمی ایران، صندوق پستی: ۱۱۳۶۵-۸۴۸۶، ۱۱۳۶۵-۸۴۸۶، تهران - ایران

۲. پژوهشکده‌ی فیزیک پلاسما و گذاخت هسته‌ای، پژوهشگاه علوم و فنون هسته‌ای، سازمان انرژی اتمی، صندوق پستی: ۱۴۳۹۹-۵۱۱۳، تهران - ایران

۳. دانشکده فیزیک، دانشگاه علم و صنعت ایران، کد پستی: ۱۴۱۱۴-۱۳۱۱۴، تهران - ایران

**چکیده:** بهینه‌سازی سنجه‌های محیط پلاسمایی کلید گازی سه الکترودی تریگاترون، به دلیل کاربرد گسترده‌ی آن در اغلب تجهیزهای پلاسمایی، مورد مطالعه و بررسی قرار گرفت. مبانی نظری کار مبتنی بر شیوه‌سازی مدار تخلیه شامل: خازن اصلی، ضربیت القایی مدار و مقاومت پلاسما در حالت کلید بسته، با یک نوسان گر کندمیرا بوده است. ولتاژ کلید در محدوده ۶ تا ۱۵ کیلوولت، فشار داخل کلید در بازه ۱ تا ۱.۵ اتمسفر و شکاف جرقه در گستره ۱/۴ تا ۲/۸ میلی‌متر بود. چگالی الکترون محیط پلاسمایی درون کلید گازی در حالت شکست خوده‌خود با استفاده از اندازه‌گیری جریان ولتاژ وابسته به زمان کلید تعیین شد. چگالی الکترونی پلاسما در محدوده  $10^{۲۰} \text{ to } 10^{۲۴}$  تا  $3.5 \times 10^{۲۴}$  بر متر مکعب به دست آمد و این بازه با مقدارهای گزارش شده برای محیط پلاسمایی مربوط به تخلیه‌ی قوس و جرقه در فشار جو و بالاتر از آن، که مبتنی بر عملکرد جویباری شکست الکتریکی است، در تطابق خوبی است.

**کلید و اثرهای کلید تریگاترون، چگالی الکترون، پلاسما**

## Measurement of the plasma electron density of a trigatron switch

M. Aram<sup>۱</sup>, N. Morshedian<sup>۲</sup>, S. Asadi<sup>۳</sup>, A. Eslami<sup>۳</sup>, F. Mansori<sup>۱</sup>

1. Laser and Optics Research School, Nuclear Science and Technology Research Institute, AEOI, P.O.Box: 11365-8486, Tehran - Iran

2. Plasma physics and Nuclear Fusion Research School, Nuclear Science and Technology Research Institute, AEOI, P.O.Box: 14399-5113, Tehran - Iran

3. Department of Physics, Iran University of Science and Technology, P.O.Box: 16846-13114, Tehran - Iran

**Abstract:** Because of its wide applications in plasma based equipment, plasma parameters of a trigatron switch are investigated with the intention of the switch optimization. The theoretical method is based on the simulation of a closed switch discharge circuit, included the main capacitor, total circuit inductance, and plasma resistance, in an under damped oscillator. The charging voltage is between 6 to 15 kilovolts, the switch pressure is between 1 to 1.5 atmospheres and the gap is 1.4 or 2.8 mm. The density of the discharge plasma of the switch in self-breakdown mode is determined using the recorded time varying voltage and the switch current. The obtained electron density of plasma is  $(0.5\text{-}3.5) \times 10^{24}$  per cubic meter, which is in good agreement with the results published in standard references for arc and spark plasma in atmospheric pressure, based on the streamers mechanism.

**Keywords:** Trigatron switch, Electron density, Plasma

\*email: mjaram@aeoi.org.ir

تاریخ دریافت مقاله: ۹۳/۲/۲۸ تاریخ پذیرش مقاله: ۹۴/۸/۲۵



## ۱. مقدمه

که در آن  $R$  و  $L$  به ترتیب، مقاومت اهمی و اندوکتانس معادل کل حلقه و  $C_m$  ظرفیت بانک خازن حلقه است. با وارد نمودن فایل‌های رقمی ثبت شده به سیله‌ی نوسان‌نما برای تغییرات زمانی جریان، در محیط نرم‌افزار Matlab به صورت یک ماتریس  $n \times 2$  و برآش معادله‌ی ۱ به ماتریس فوق مقدار عددی  $\gamma$  و  $\alpha$ ، و با حل دو معادله و دو مجهول بر حسب  $R$  و  $L$  مقدار عددی مقاومت اهمی و مقاومت ظاهری<sup>(۵)</sup> کل حلقه به دست می‌آید. هم‌چنین در نبود میدان مغناطیسی رابطه‌ی بین چگالی الکترون پلاسماء،  $n_e$ ، با رسانش الکتریکی محیط پلاسماء،  $\sigma_p$ ، و ضریب تحرک الکترون،  $\mu_e$ ، این است [۱۱]

$$n_e = \frac{\sigma_p}{e\mu_e}, \quad \sigma_p = \frac{d_p}{R_p A_p}, \quad A_p = \pi r_p^2 \quad (2)$$

که در آن  $r_p$  و  $d_p$  به ترتیب، شعاع مقطع و طول مسیر پلاسمایی درون کلید است.

### ۳. شرح آزمایش

آزمایش تجربی آزمایش در شکل ۱ نشان داده شده است. در این شکل P.S. منبع تغذیه‌ی ولتاژ-بالای متغیر (مدل MINTROL ۱,۵) ساخت Universal Voltronics،  $R_b$  مقاومت بالاست<sup>(۶)</sup> و مگاهم،  $C_m$  بانک خازن اصلی (که برای عملکرد یک لیزر عرضی ضربانی فشار جوی گاز کربنیک استفاده می‌شود)<sup>(۷)</sup> نانوفاراد سرامیکی Murata، T.S کلید تریگاترون، کاونده‌ی ولتاژ (V.P) با نسبت تبدیل هزار ولت به ازای یک ولت خروجی (C.T) Tektronix P6015A، مبدل جریان با نسبت ۴۰ آمپر به ازای یک ولت خروجی (مدل 1025 Pearson elec. Inc.) و (D.S.O Tektronix 3052)<sup>(۸)</sup> است. مقدارهای ولتاژ و فشار درون کلید و نیز فاصله‌ی الکترودها به عنوان سنجه‌های محیطی آزمایش در جدول ۱ درج شده‌اند.

جدول ۱. مقدارهای سنجه‌های محیطی به کار رفته در آزمایش

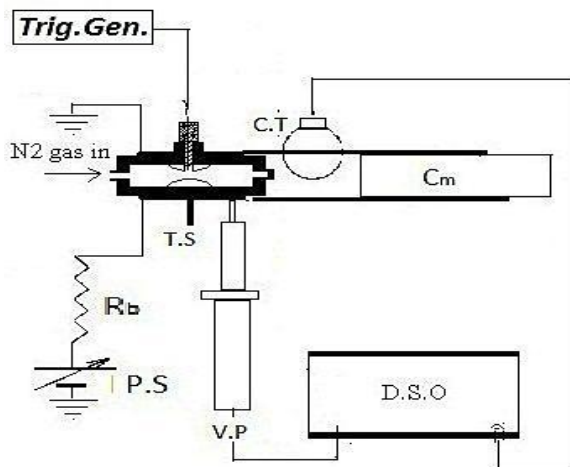
فاصله‌ی الکترودها (cm)	فشار درون کلید (torr)	ولتاژ (kV)
۰,۱۴	۷۶۰	۶
۰,۱۴	۱۱۴۰	۹
۰,۲۸	۷۶۰	۱۰,۴
۰,۱۴	۱۵۲۰	۱۱
۰,۲۸	۱۱۴۰	۱۵

### ۲. مبانی نظری

با در نظر گرفتن مقاومت معادل محیط درون کلید به صورت مقاومت اهمی پلاسماء، سری شده با یک امپانس القایی، رابطه‌ی تغییرات زمانی جریان کلید را می‌توان چنین نوشت [۱۰]

$$I(t) = I_0 e^{-\gamma t} \sin(\omega t), \quad \gamma = -\frac{R}{L}, \quad \omega = \sqrt{\omega_0^2 + \gamma^2}, \quad \omega_0 = \frac{1}{\sqrt{LC_m}} \quad (1)$$

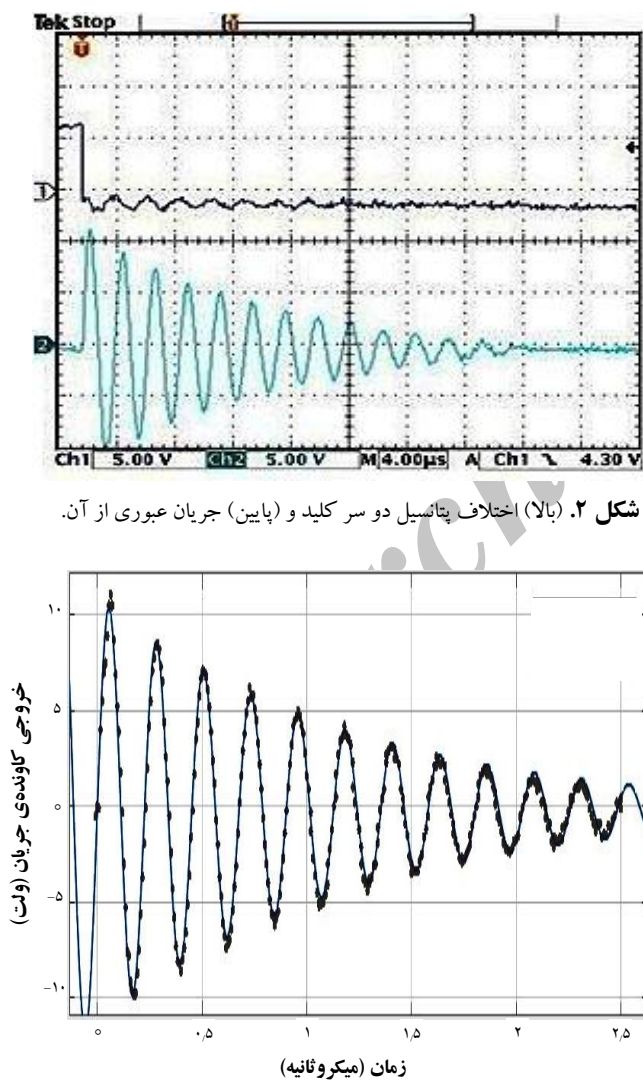
کلید از مرتبه‌ی  $m^{-3}$   $10^{44}$  به دست آمد که با توجه به مرتبه‌ی گزارش شده برای پلاسمای جرقه [۱۳] قابل قبول است. در شکل‌های ۴ و ۵ رابطه‌ی بین چگالی الکترون و حاصل ضرب فشار در فاصله (Pd) و شدت میدان کاهیده‌ی کلید (E/P) نشان داده شده است. برای توجیه رفتار  $n$  بر حسب E/P لازم است به نمودار تغییرات ولتاژ شکست کلید (V<sub>b</sub>) و (E/P) بر حسب حاصل ضرب فشار در فاصله توجه نمود (شکل‌های ۶ و ۷). همان‌طور که دیده می‌شود ولتاژ شکست کلید مطابق انتظار با حاصل ضرب فشار در فاصله افزایش می‌یابد که نشانه‌ی عملکرد کلید در شاخه‌ی سمت راست منحنی پاشن است. با این وجود رفتار شدت میدان کاهیده مطابق ولتاژ شکست نیست و به همین دلیل هم رفتار نمودارهای ۴ و ۵ معکوس یک‌دیگرند.



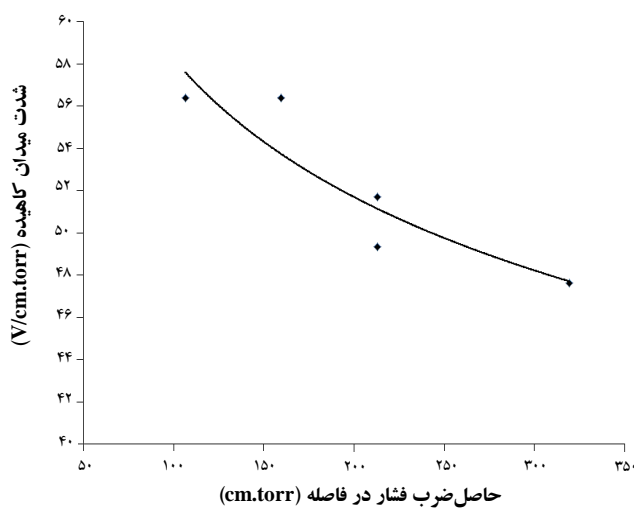
## شکل ۱. آرایش تجربی آزمایش.

۴. یافته‌های تجربی

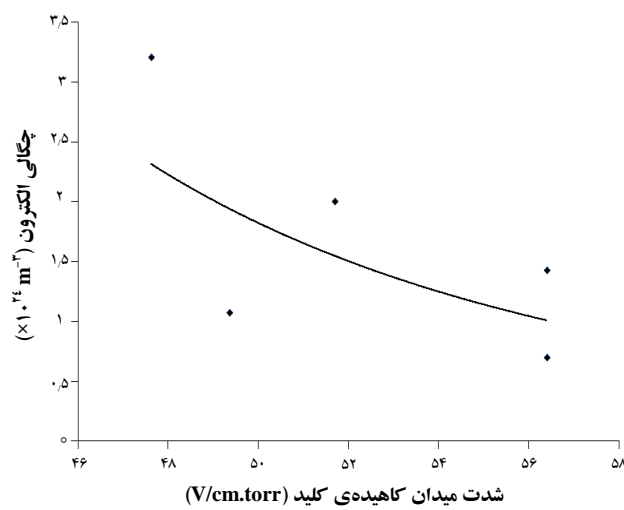
یک نمونه از اختلاف پتانسیل دو سر کلید و جریان عبوری از آن که به طور هم‌زمان ثبت شده است با ذکر سنجه‌های محیطی مورد استفاده، در شکل ۲ نشان داده شده است. از شکل دیده می‌شود که حالت تغییرهای نوسانی کندمیرا برای جریان در کلید، در حالت وصل و در مدار شامل خازن اصلی و کلید، برقرار بوده است و به این دلیل رابطه‌ی ۱ به جریان فوق به خوبی برازش شد که یک نمونه از آن در شکل ۳ دیده می‌شود. اتصال‌های فلزی به کار رفته در مدار به صورت نواهایی از جنس آلومینیم در اندازه‌های ۴ در ۱۵ سانتی‌متر (دو عدد) و ۱۵ در ۴۰ سانتی‌متر (دو عدد) و همگی به ضخامت ۵ میلی‌متر بوده است، با محاسبه‌ی مقاومت اهمی کل حاصل از اتصال‌های فوق (۷۳۰ میلی اهم) و کم کردن این مقدار از مقاومت اهمی کل حلقه، مقدار مقاومت اهمی معادل پلاسمای کلید در حالت وصل،  $R_p$ ، مشخص شد. شعاع مسیر پلاسمایی با توجه به شواهد تجربی [۱۲] و در تقریب اول معادل شعاع الکترود آتش کلید در نظر گرفته شد که برابر ۵۰ میلی‌متر بود و طول مسیر هم معادل شکاف بین الکترودهای کلید در نظر گرفته شد. مقدارهای شرایط تجربی به کار گرفته شده شامل: ولتاژ تغذیه، فشار گاز (ازت) درون کلید و فاصله‌ی الکترودها بود که در جدول ۱ ثبت شده‌اند. ضریب تحرک الکترون با استفاده از معادله‌ی  $P = \frac{42}{\mu}$  [۱۳] که در آن فشار محیط برحسب تور است و از رابطه‌ی ۲ چگالی الکترون درون کلید در حالت وصل، محاسبه شد. مقدار چگالی الکترون درون



**شکل ۳:** برآزش رایطه‌ی ۱ به تغییرات زمانی جریان نوسانی کلید.



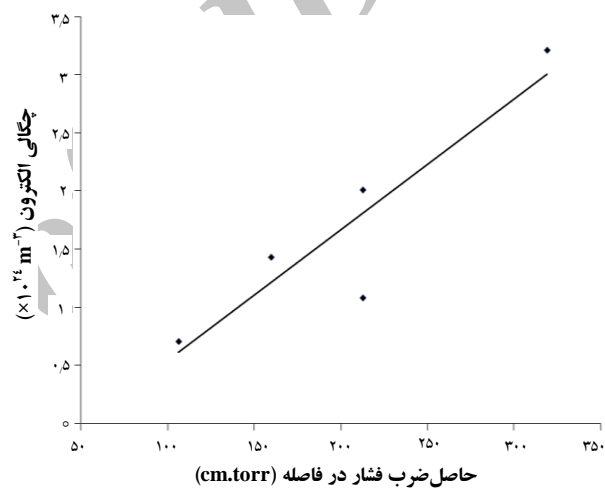
شکل ۷. رابطه‌ی بین شدت میدان کاهیده (E/P) و حاصل ضرب فشار در فاصله.



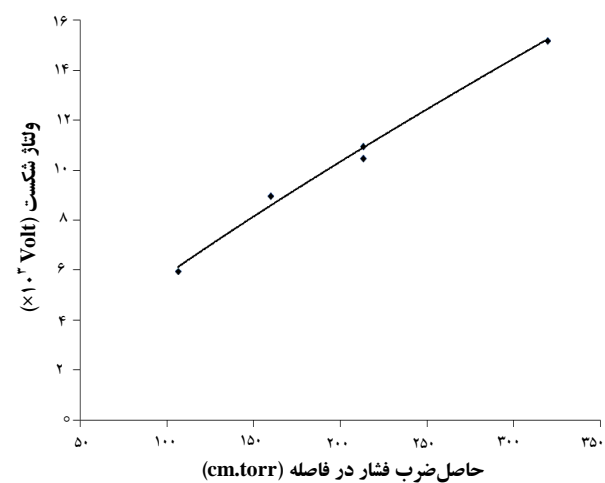
شکل ۸. رابطه‌ی بین چگالی الکترون و شدت میدان کاهیده کلید (E/P).

## ۵. نتیجه‌گیری و بحث

با استفاده از جریان ضربانی ثبت شده‌ی تجربی و روش محاسباتی شرح داده شده، چگالی الکترون پلاسمای در شرایط مختلف تعیین و نمودار تغییرات آن نسبت به دو سنجه‌ی بسیار مهم کلیدهای گازی-پلاسمایی یعنی حاصل ضرب فشار در فاصله (Pd) و شدت میدان کاهیده (E/P) نمایش داده شد. همان‌طور که دیده می‌شود چگالی الکترون کلید با افزایش حاصل ضرب فشار در فاصله و کاهش شدت میدان کاهیده افزایش می‌یابد این موضوع با توجه به شکل ۷ به دلیل کاهش شدت میدان کاهیده با افزایش حاصل ضرب فشار در فاصله است و این خود به دلیل رفتار غیرخطی ولتاژ شکست کلید گازی با حاصل ضرب فشار در فاصله در شاخه‌ی راست منحنی پاشن است [۱]، به این معنا که کاهش شبیه منحنی شکست با حاصل ضرب فشار در فاصله در این ناحیه به معنای کاهش شدت میدان کاهیده بوده و در نتیجه طبیعی است که رفتار چگالی الکترون و کارآیی کلید بر حسب حاصل ضرب فشار در فاصله و شدت میدان کاهیده به صورت معکوس باشد. اما از آنجا که زمان گذار کلید با افزایش شدت میدان کاهیده کاهش می‌یابد [۸]، برای عملکرد بهینه‌ی کلید لازم است تعادلی بین چگالی بیشینه‌ی الکترون و زمان گذار کمینه، ایجاد شود.



شکل ۹. رابطه‌ی بین چگالی الکترون و حاصل ضرب فشار در فاصله (Pd).



شکل ۱۰. رابطه‌ی بین ولتاژ شکست و حاصل ضرب فشار در فاصله.



## پی نوشت ها

## قدردانی

1. Trigatron
2. Thyratron
3. Paschen curve
4. Pulse forming network
5. Inductance
6. Ballast resistor
7. Digital storage oscilloscope

نویسنده گان، مراتب تشکر خود را از آقایان حسین اسماعیلی و داود احمدپور به خاطر همکاری اشان در انجام آزمایش های تجربی و آقایان رحمان لایق آهن، احمد علوی سرشکه و مجتبی اکبرزاده برای همکاری اشان در تهیه اقلام و ساخت کلید ابراز می دارند.

## مرجع ها

- [1] E. Kauffel, W.S. Zaengl, High voltage engineering: fundamentals, Elsevier. Ltd, 2<sup>nd</sup>. ed, ch5 (2000).
- [2] F.B.A. Frungel, High speed pulse technology, Academic Press, 1, Sec.B (1965).
- [3] M. Aram, F. Soltanmoradi, A. Behjat, Investigation on parallel spark array pre-ionization TEA CO<sub>2</sub> laser Proceedings of SPIE, 5483 (2004) 43-50.
- [4] M. Aram, F. Soltanmoradi, A. Behjat, F. mansoore, Parameters of a Trigatron-driven low-pulse-repetition-rate TEA CO<sub>2</sub> laser pre-ionized by a surface corona discharge, Q.E. 37(1) (2007) 60-62.
- [5] A. Hariri, M. Tarkashvand, F. Ardavani, A.A. Yaraghchi, Experimental investigation of the T E (transversely excited) N<sub>2</sub> laser, Scientific Bulletin of the Atomic Energy Organization of Iran, 3 (1362) 62-79.
- [6] J.J. Rocca, Capillary discharge tabletop soft X-ray lasers reach new wavelengths and applications, in C.R. Acad. Sci. Paris, t. 1, Série IV, (2000) 1065-1081.
- [7] S.L. Maron, M.G. Grothaus, L.W. Hardesty, Hydrogen spark switches for rep-rated accelerators, International Conference on High-Power Particle Beams, 1 (1992).
- [8] M. Aram, Characteristics study of a trigatron with homo and hetero-polar triggering configurations, Journal of Nuclear Science and Technolog, 34(2) (1384) 33-38.
- [9] I.H. Huchthinson, Principles of plasma diagnostics, Cambridge Academic Press (2005).
- [10] J.R. Reitz, F.J. Milford, R.W. Christy, Foundation of electromagnetic theory, 4<sup>th</sup> ed., ch 12, (2008).
- [11] J.T. Verdeyne, Laser electronics, 3<sup>rd</sup> ed., ch17, (1995).
- [12] H. Raether, Electron Avalanches and Breakdown in gases, Butter Worths (1964).
- [13] Y.P. Raizer, Gas Discharge physics, Springer-Verlag (1991).